



БИООРГАНИЧЕСКАЯ ХИМИЯ

Том 18 * № 1 * 1992

УДК 547.455.6'118.057

© 1992 г.

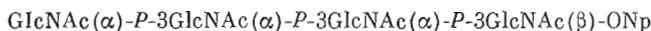
A. B. Николаев, И. А. Иванова, В. Н. Шибаев

ФРАГМЕНТЫ БИОПОЛИМЕРОВ, СОДЕРЖАЩИХ ОСТАТКИ ГЛИКОЗИЛФОСФАТОВ

**9*. СИНТЕЗ ТЕТРА(2-АЦЕТАМИДО-2-ДЕЗОКСИ-
D-ГЛЮКОПИРАНОЗИЛ)ТРИФОСФАТА – ТЕТРАМЕРНОГО
ФРАГМЕНТА КАПСУЛЬНОГО АНТИГЕНА *Escherichia coli*
K51**

Институт органической химии им. Н. Д. Зелинского РАН, Москва

Синтезирован олигомерный фрагмент полимера капсулы *E. coli* K51 – линейный (1-3)-связанный тетрагликозилтрифосфат



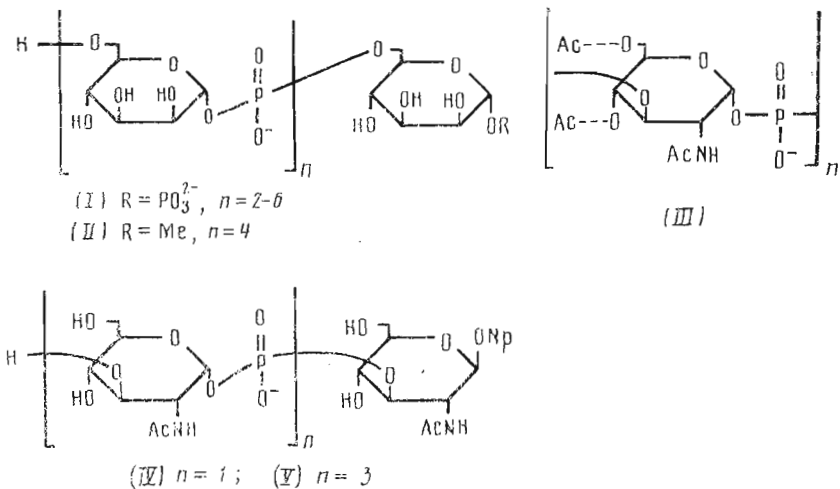
путем ступенчатого наращивания цепи с использованием гликозилводородфосфонатного метода для создания фосфодиэфирных связей. *n*-Нитрофенил-2-ацетамидо-4,6-ди-O-бензоил-2-дезокси- β -D-глюкопиранозид был первым акцептором, фиксирующим восстанавливющий конец цепи. Цикл наращивания включал в себя конденсацию 2-ацетамидо-4,6-ди-O-бензоил-2-дезокси-3-O-*n*-метоксибензил- α -D-глюкопиранозил-Н-фосфоната и спиртового компонента в присутствии Me_3CCOCl с последующим окислением и де(метоксибензилированием). На заключительном этапе использовали 2-ацетамидо-3,4,6-три-O-бензоил-2-дезокси- α -D-глюкопиранозил-Н-фосфонат. Целевой продукт получали дебензоилированием защищенного тетрамера в мягких условиях. Приведены данные спектров ЯМР синтезированных олигомеров.

Поли(гликозилфосфаты) являются сложными природными полимерами, построенным из повторяющихся гликозил- или олигогликозилфосфатных фрагментов. В отличие от регулярных полисахаридов в этих фосфогликанах углеводные звенья соединены не гликозидной, а фосфодиэфирной связью, причем фосфатная группа связана с полуацетальной гидроксильной группой одного и спиртовой гидроксильной группой второго моносахаридного остатка. Поли(гликозилфосфаты) входят в состав клеточной стенки или капсулы многих микроорганизмов, определяя их иммунологическую специфичность [2].

До последнего времени исследование путей химического синтеза полимеров этого класса ограничивалось получением их дисахаридных фосфодиэфирных фрагментов – гликозилфосфосахаров. Были синтезированы углеводные фосфодиэфиры, входящие в состав внеклеточных фосфоманнанов *Hansenula capsulata* Y-1842 и *H. holstii* NRRLY-2448 [3, 4], тейховой кислоты клеточной стенки *Staphylococcus latis* 2102 [5, 6], капсульных антигенов *Neisseria meningitidis* X и *Escherichia coli* K52 [1, 7]. Наиболее эффективный способ синтеза гликозилфосфосахаров – водород-фосфонатный – основан на реакции производных гликозил-Н-фосфонатов со спиртами и позволяет получать фосфодиэфиры, связанные как по первичным, так и по вторичным гидроксильным группам [1, 4, 6–8]. Недавно этот подход был использован для первых синтезов олиго(гликозилфосфатов): (1-6)-связанные олиго(маннозилфосфаты) (I) и линейный

* Сообщение 8 – см. [1].

пентаманнозилтетрафосфат (II) были получены соответственно реакцией поликонденсации [9] и путем ступенчатого наращивания цепи [10].

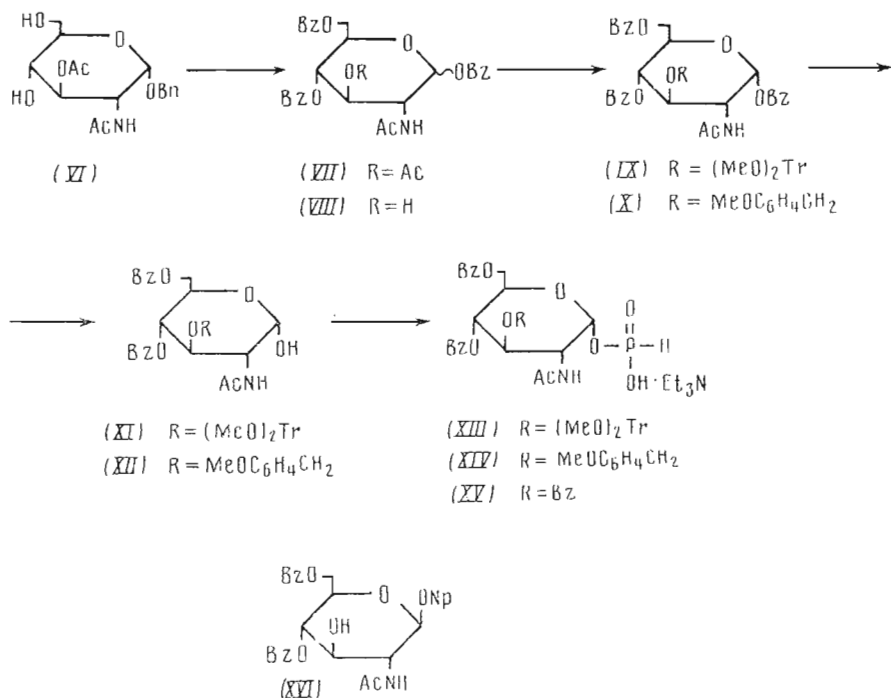


Настоящая публикация посвящена синтезу тетрасахаридного фрагмента K-антителного полимера капсулы бактерии *E. coli* K51, имеющего структуру поли(2-ацетамило-2-дезокси- α -D-глюкопиранозилфосфата) (III) [11]. Линейный (1-3)-связанный тетра(N-ацетилглюкозаминил)трифосфат синтезирован в виде *n*-нитрофенилгликозида (V) с целью потенциального применения при создании искусственных антигенов и иммunoсорбентов. О синтезе дисахаридного фрагмента капсульного антигена *E. coli* K51—фосфодиэфира (IV) — сообщалось ранее [1].

При получении целевого тетрагликозилтрифосфата (V) использована стратегия ступенчатого наращивания цепи, ранее примененная в синтезе пентаманнозилтетрафосфата (II) [10]. Построение фосфодиэфирных звеньев выполняли гликозилводородфосфонатным методом, окисляя на каждой стадии образующиеся диэфиры Н-фосфоновой кислоты до фосфатов. В качестве ключевого синтона для последовательного введения гликозилфосфатных фрагментов первоначально было выбрано производное Н-фосфоната (XIII) (схема 1). Временной защитной группой при О3 служила диметокситритильная группа, с успехом использованная при синтезе (1-6)-связанного олигомера (II) [10]. Моногидроксильное производное *n*-нитрофенил-N-ацетилглюкозаминида (XVI) [1] было выбрано в качестве первого акцептора, терминирующего цепь с восстановливающим концом.

Предшественником для синтеза Н-фосфоната (XIII) служило производное (XI), получаемое из бензил-2-ацетамило-3-O-ацетил-2-дезокси- α -D-глюкопиранозида (VI) [12]. Снятие 1-O-бензильной группы гидрогенолизом и последующее бензоилирование образовавшегося триола привело к соединению (VII) с общим выходом 72 %. Селективным О-дезацетилированием трибензоата (VII) в условиях кислотного метанолиза [13] получено моногидроксильное производное (VIII) (60 %).

При попытке алкилирования соединения (VIII) диметокситритилюхридом в пиридине исходное соединение (VIII) остается без изменения. Известно, что триарилметиловые эфиры вторичных спиртов получают при взаимодействии триарилметилперхлоратов со спиртами в присутствии затрудненных пиридиновых оснований [14, 15]. Диметокситритилюхлорат был получен нами с выходом 95 % из диметокситритилюкарбинола при действии уксусного ангидрида и хлорной кислоты по методу, описанному

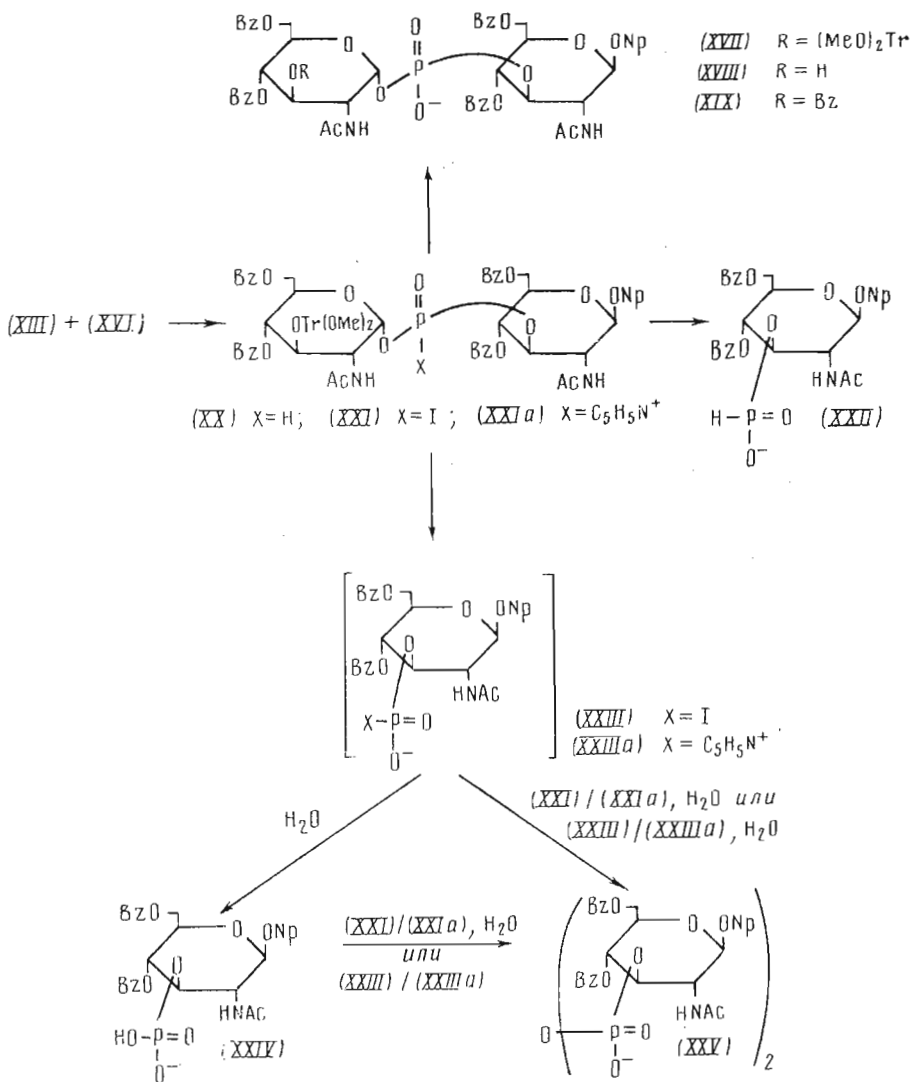


в работе [15]. Алкилирование соединения (VIII) действием избытка $(\text{MeO})_2\text{TrClO}_4$ в присутствии 2,4,6-коллидина в дихлорметане привело к 3-О-диметокситритиловому эфиру (IX) с выходом 70%.

Селективное 1-О-дебензоилирование соединения (IX) диметиламином в ацетонитриле дало α -аномер (XI) с выходом 62%. Конфигурация при С1 следовала из характерных для α -производных значений КССВ $J_{\text{C}_1,\text{H}_1}$ 171 Гц и $J_{\text{H}_1,\text{H}_2}$ 3,3 Гц.

Гликозилводородфосфонат (XIII) получали обработкой соединения (XI) триимидазолидофосфитом (образуется *in situ* из PCl_3 , имидазола и триэтиламина) с последующим гидролизом имидазолидных групп. После хроматографии на SiO_2 выход продукта составил 83%. Строение Н-фосфоната (XIII) подтверждено данными спектров ЯМР. Наличие водородфосфонатной группы следовало из значения химического сдвига атома фосфора δ_p 1,51 в спектре ^{31}P -ЯМР и присутствия в спектре ^1H -ЯМР дублетного сигнала связанного с ним протона при δ 6,74 с константой $J_{\text{H},\text{P}}$ 635 Гц. Наблюдалось также расщепление сигналов Н1, С1 и С2 за счет спин-спинового взаимодействия с атомом фосфора: $J_{\text{H}_1,\text{P}}$ 8,3, $J_{\text{C}_1,\text{P}}$ 6,1, $J_{\text{C}_2,\text{P}}$ 6,1 Гц.

Конденсацию соединений (XIII) и (XVI) проводили в стандартных условиях синтеза гликозилфосфосахаров: в пиридине в присутствии 2,5 экв. пивалоилхлорида (схема 2). Продукты реакции окисляли раствором иода в 95% водном пиридине. Образовавшийся фосфодиэфир (XVII) без выделения детритилировали обработкой 1% CF_3COOH в дихлорметане (1 мин, 0°C). Однако после описанных операций ожидаемый фосфодиэфир (XVIII) (δ_p -3,21) был получен только с выходом 15%. Из реакционной смеси были выделены также 3-фосфат (XXIV) (9%) и симметричный пирофосфат (XXV) (11%). Вывод о структуре продуктов



был сделан на основании данных спектроскопии ^1H - и ^{31}P -ЯМР (см. табл. 1 и 2). Рассмотрение спектров ^1H -ЯМР соединений (XXIV) и (XXV) показало, что все присутствующие сигналы можно приписать протонам остатка 4,6-ди- O -бензоилированного *n*-пирофенил-2-ацетамидо-2-дезокси- β -D-глюкопиранозида. Положение резонанса атома фосфора в спектрах ^{31}P -ЯМР соответствовало структурам дизамещенного симметричного пирофосфата (XXV) ($\delta_{\text{P}} -7,53$) и фосфомоноэфира (XXIV) (δ_{P} 0,05 дляmonoаниона и 3,12 для дианиона). О месте присоединения фосфатных заместителей свидетельствовала повышенная мультиплетность сигналов Н3 за счет дополнительного расщепления на атомах фосфора ($J_{\text{H}_3,\text{P}}$ 9—9,5 Гц).

Ранее было показано [1], что при взаимодействии бензоилированного гликозил-Н-фосфоната (XV) с соединением (XVI) реакция гладко приводит к фосфодигэфиру (XIX) и не сопровождается образованием заметных

Таблица 1

Химические сдвиги ^1H -ЯМР (δ , CDCl_3) * и КССВ (Гц) первого порядка соединений (XVIII), (XXII), (XXIV), (XXV), (XXVII) и (XXVIII)

Атом	Параметр	(XXII) **	(XXIV)	(XXV) ***	(XXVIII) ****	(XXVII)	(XXVII)
H1	δ	5,17д	5,17д	5,28д	5,23д	5,41д	4,63д
	$J_{1,2}$	8,0	8,1	8,0	8,0	8,0	1,4
H2	δ	4,45м	4,56дт	4,44м	4,51м	4,39дт	5,21дд
	$J_{2,3}$	10,9	10,2	10,3	9,3	9,3	2,9
H3	δ	4,67дт	4,87дт	5,01дт	4,86к	4,83к	5,29дд
	$J_{3,p}$	9,7	9,5	9,7	9,3	9,3	
H4	δ	5,37т	5,28т	5,44т	5,40т	5,37т	5,24т
	$J_{3,4} = J_{4,5}$	9,7	9,5	9,7	9,3	9,3	10,0
H5	δ	4,15дд	4,20м	4,23дд	4,17дд	4,15м	4,05м
	$J_{5,6a}$	7,0	7,5	6,9	7,0	7,0	
H6a	δ	4,44дд	4,31дд	4,41дд	4,44дд	4,38дд	4,18м
	$J_{6a, 6b}$	12,0	11,5	11,9	11,7	11,7	
H6b	δ	4,55дд	4,42дд	4,53дд	4,59дд	4,51дд	4,18м
	$J_{5,6b}$	3,5	2,0	2,7	2,7	3,0	
H1'	δ			**	5,43дд	5,45дд	5,61дд
	$J_{1', 2'}$				3,3	3,2	2,4
H2'	δ			**	8,4	8,3	7,1
	$J_{2', 3'}$				10,1	9,8	$J_{3', 4'} = 8,9$
H4'	δ			**	5,56т	5,40т	5,48дд
	$J_{3', 4'} = J_{4', 5'}$				9,4	9,8	$J_{4', 5'} = 10,0$
H5'	δ			**	4,33дт	4,25дт	4,48дт
	$J_{5', 6a'} = J_{5', 6b'}$				2,7	2,6	2,9
H6a'	δ			**	4,07дд	4,12дд	4,26дд
	$J_{6a', 6b'}$				11,1	12,0	12,4
H6b'	δ			**	4,67дд	4,63дд	4,61дд
	NH	7,84д	5,67д	7,87д	5*	5*	5*
CH ₃ O	$J_{2, \text{NH}}$	8,0	8,1	8,0		8,0	
	δ	2,04с	2,08с	2,06с	3,68с 2,18с, 2,28с	2,13с, 2,17с	3,33с 1,98с, 2,03с, 2,06с, 2,11с
CH ₃ CO	δ						

* Во всех спектрах присутствовали сигналы Et_3N (1,13—1,33т, 2,84—3,03к) и C_6H_4- , C_6H_5- групп (6,60—8,20).

** Присутствовали сигналы РН-группы: 6,77 (д, 1Н, $^1\text{J}_{\text{H}}$, p 633).

*** Оба углеводных остатка эквивалентны и имеют одинаковые спектры.

**** Присутствовали сигналы AgCH_2 -группы: 4,54, 4,73 (2д, 2Н, J 10,5).

5* Сигналы NH-групп находились в области ароматических протонов.

количеств побочных продуктов. Мы предположили, что низкий выход соединения (XVIII) связан с влиянием, которое оказывает на протекание реакций конденсации и/или окисления объемная диметокситритильная группа при ОЗ водородфосфоната (XIII). Это предположение косвенно подтверждалось результатом взаимодействия последнего с первично-спиртовым производным (XXVI) (схема 3). Конденсация соединений

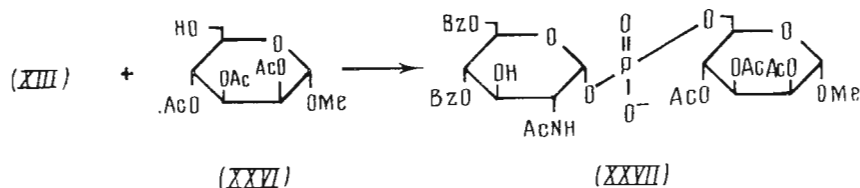
Химические сдвиги ^{31}P -ЯМР (δ , м.д.) и некоторые КСВВ (Гц) соединений (V), (XIII), (XIV), (XVII), (XVIII), (XX), (XXII), (XXIV), (XXV), (XXVII)–(XXXI)

Соединение	δ , м.д.	$^{1}\text{J}_{\text{P}, \text{H}}$	Растворитель
(V)	-0,69с		
(XIII)	1,51д 1,19д	635 632	D_2O CDCl_3 , $\text{C}_5\text{H}_5\text{N}$
(XIV)	0,98д	638	CDCl_3
(XVII)	-1,05с		$\text{C}_5\text{H}_5\text{N}$
(XVIII)	-3,21с		CDCl_3
(XX)	7,33д, 9,06д (4 : 1)	729	$\text{C}_5\text{H}_5\text{N}$
(XXII)	4,29д	633	CDCl_3
(XXIV)	0,05с, 3,12с (5 : 1) *		"
(XXV)	-7,53с		"
(XXVII)	-1,85с		"
(XXVIII)	-3,62с		"
(XXIX)	-3,43с		"
(XXX)	-1,64с, -2,83с (1 : 1)		"
(XXXI)	-0,58с, -2,22с, -2,75с (1 : 1 : 1)		"

* Моноанион и дианион.

(XIII) и (XXVI) с последующим окислением и детритилированием, выполненные как описано выше, приводили к фосфодиэфиру (XXVII) с выходом 45%, что значительно ниже результатов, обычно получаемых в синтезе (1–6)-связанных гликозилфосфосахаров [1, 4, 5, 7, 10].

Схема 3



Исследование взаимодействия соединений (XIII) и (XVI) методом спектроскопии ^{31}P -ЯМР показало, что через 10 мин после добавления пи-валоилхлорида к раствору эквимольных количеств исходных веществ в пиридине наблюдалось полное исчезновение сигнала Н-fosfonата (XIII) (δ_{P} 1,19, $^{1}\text{J}_{\text{P}, \text{H}}$ 632 Гц). В спектре присутствовали только сигналы диастереомерных диэфиров водородофосфоновой кислоты (XX) (см. схему 2): δ_{P} 7,33 и 9,06 (4 : 1), $^{1}\text{J}_{\text{P}, \text{H}}$ 729 Гц. Последующая обработка иодом (2 экв.) в смеси пиридин–вода (2 : 1) приводила к образованию наряду с фосфодиэфиром (XVII) (δ_{P} -1,05) заметного количества других продуктов. Основной из них имел химический сдвиг δ_{P} 1,53 и, по-видимому, являлся фосфомоноэфиром (XXIV). Спектр реакционной смеси содержал также минорные сигналы δ_{P} 7,15; 5,66; -2,15; -7,80 (по-видимому, пирофосфат (XXV)), -10,01. Отношение интегральной интенсивности сигнала фосфодиэфира (XVII) к суммарной интенсивности сигналов побочных продуктов составляло ~1 : 1,5. Препаративная конденсация соединений (XIII) и (XVI) с последующим окислением в указанных условиях и детритилированием привела к диэфиру (XVIII) с выходом 18%.

Проведенный эксперимент показал, что конденсация соединений (XIII) и (XVI) протекает обычным образом [4, 16] и низкий выход защищенно-го фосфодиэфира связан с побочными процессами на стадии окисления производного (XX). Вероятно, наличие объемной диметокситритильной группы при O3' создает значительное стерическое напряжение, в результате чего понижается стабильность гликозилфосфонатной связи в диэфире (XX) и первичном продукте его окисления иодом в водном пиридине – иодангидриде (XXI) [17]. При этом наряду с образованием фосфодиэфира (XVII) преобладающим становится процесс отщепления гликозильного заместителя в результате реакции гидролиза или сольволиза [16]. Производное (XXIII), получающееся при таком расщеплении, может гидролизоваться до фосфомоноэфира (XXIV) или превращаться в пи-рофосфат (XXV) по схеме 2. При этом следует учитывать влияние пи-ридина как нуклеофильного катализатора, которое, по-видимому, имеет место в ходе реакций иодпроизводных (XXI) и (XXIII) и может приводить к образованию интермедиатов (XXIa) и (XXIIIa).

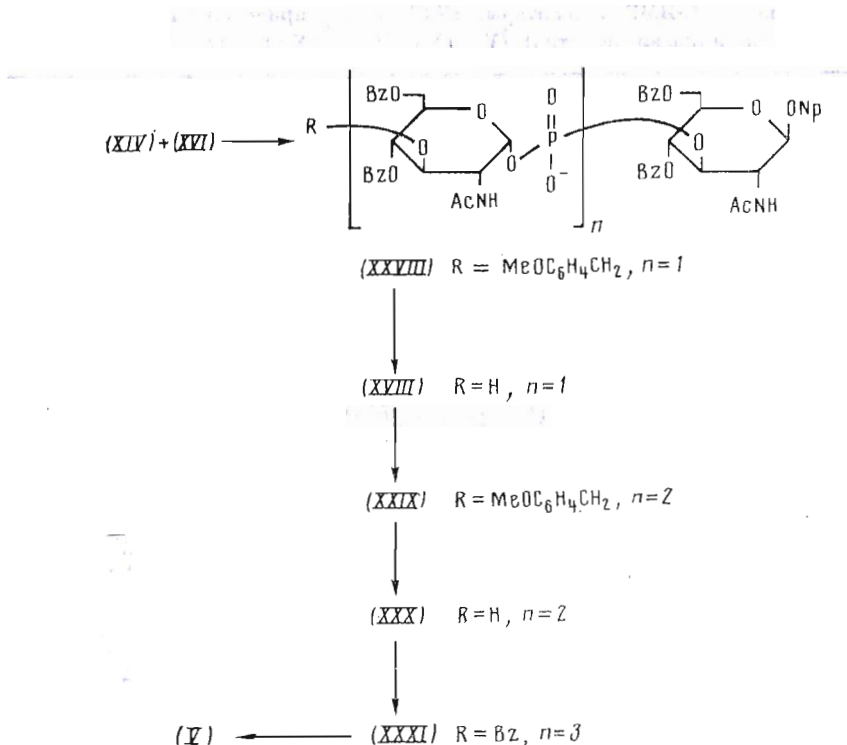
Была сделана попытка использовать обратную последовательность реакций окисления и дегидрирования, чтобы избежать влияния диметокситритильной группы на процесс окисления. Продукт конденсации (XX) без выделения дегидрировали действием 1% CF_3COOH в CH_2Cl_2 (30 с, 0°C) и затем обрабатывали раствором иода. Однако основным фосфорсодержащим продуктом (67%) при этом оказался 3-водородфосфонат (XXII), что свидетельствовало о полном расщеплении гликозилфосфонатной связи в процессе дегидрирования. Строение соединения (XXII) однозначно подтверждалось данными спектров ^1H - и ^{31}P -ЯМР (см. табл. 1 и 2). Его устойчивость при обработке иодом согласуется с литературными данными [17] о стабильности моноэфирных водородфосфонатов к действию некоторых окислителей.

Альтернативным решением задачи синтеза олигомера (V) являлось использование вместо диметокситритильной другой группы для временной защиты гидроксила при C3 в производном H-фосфоната. На наш взгляд, наиболее подходящей для этого была менее объемная *n*-метоксибензильная группа [18–20]. Ранее отмечалась эффективность использования бензильных O-защитных групп в составе гликозилводородфосфонатного компонента в синтезе гликозилфосфосахаров [4, 8]. По данным [18, 19], представлялось возможным удалять O-(*n*-метоксибензильную) защиту в мягких условиях без деструкции гликозилфосфатных связей.

Исходным для синтеза H-фосфонатного синтона (XIV) (см. схему 1) служило описание выше моногидроксильное производное (VIII). Взаимодействие его с *n*-метоксибензилтрихлорацетимидатом [20] в присутствии 0,04 экв. трифторметансульфокислоты приводило с выходом 56% к соединению (X), которое далее селективно дебензилировали обработкой диметиламином с образованием α -аномера (XII) (67%). Водородфосфонат (XIV) был получен из соединения (XII) с выходом 96% в условиях синтеза фосфоната (XIII). Строение синтезированных соединений подтверждалось данными спектров ЯМР (см. «Экспериментальную часть» и табл. 2).

Конденсация водородфосфоната (XIV) и спирта (XVI) в стандартных условиях (см. выше) и последующее окисление привели к фосфодиэфиру (XXVIII) (схема 4) с выходом 74%. Удаление метоксибензильной защиты действием церий(IV)аммонийнитрата в водном ацетонитриле дало моногидроксильное производное (XVIII) с выходом 67%. Когда дебензилирование соединения (XXVIII) проводили без выделения последнего из реакционной смеси, фосфодиэфир (XVIII) получали с общим выходом 50%.

Схема 4



Следующую стадию, конденсацию дисахаридного блока (XVIII) с гликозилводородфосфонатом (XIV), осуществляли в условиях синтеза производного (XXVIII). Ранее было показано [10], что наличие в составе спиртового компонента диэфирных фосфатных групп не приводит в присутствии пивалоилхлорида к образованию продуктов их взаимодействия с водородфосфонатом или соединений пирофосфатной природы. В реакцию вступает только гидроксильная группа блока-акцептора. Конденсация соединений (XIV) и (XVIII) и последующее окисление также протекали без заметных осложнений и приводили с выходом 59% к тримеру (XXIX), содержащему две фосфодиэфирные группы ($\delta_p = -3,43$) и два гликозилфосфатных звена ($\delta_{\text{H}^1} 5,52, J_{\text{H}^1,\text{P}} 9,9 \text{ Гц}; \delta_{\text{H}^1} 5,60, J_{\text{H}^1,\text{P}} 7,5 \text{ Гц}$). Дебензилирование выполняли как описано выше, в результате чего моно-гидроксильный трисахаридный блок (XXX) был получен с выходом 73%. Конденсация водородфосфоната (XIV) и спирта (XVIII), окисление и дебензилирование продукта (XXIX) без его предварительного выделения привели к олигомеру (XXX) с общим выходом 46%.

Заключительная стадия наращивания цепи включила в себя конденсацию трисахарида (XXX) с полученным ранее О-бензоилированным водородфосфонатом (XV) [1]. После окисления продуктов реакции и хроматографического выделения выход защищенного тетрасахаридного блока составил 40%. Дебензоилирование тетрагликозилтрифосфата (XXXI) выполняли в мягких условиях, разработанных ранее для деблокирования вторично-связанных гликозилфосфосахаров [1, 7, 8]. С целью предотвращения возможного расщепления гликозилфосфатных связей омыление проводили действием 0,05 М MeONa в метаноле с диоксаном при пониженной температуре (1°C), контролируя ход реакции методом ТСХ. Целевой тетрасахарид (V) был выделен ионообменной хроматографией на

Таблица 3

Химические сдвиги ^{13}C -ЯМР и некоторые КССВ ($J_{\text{C}, \text{p}}$ приведены в скобках, Гц) олиго(гликозилфосфатов) (V), (XXVIII), (XXX) и (XXXI)

Атом	(XXVIII) ^{a, б}	(XXX) ^a	(XXXI) ^a	(V) ^b
C1	99,1	97,8	97,8	99,8
C2	55,5	57,4	57,7 ^д (5,0) ^г	56,1 ^{уш.}
C3	76,0 ^д (4,9)	74,4 ^д (4,9)	74,1 ^{уш.}	79,3 ^д (5,3)
C4	70,7 ^д (4,9)	71,4 ^{уш.}	71,6 ^{уш.}	70,6
C5	72,7	72,4	72,6	77,4
C6	63,3	63,4	63,6	61,8
C1'	95,1 ^д (4,9)	94,6 ^д (4,5) ^г	94,7 ^д (5,0) ^г	95,7 ^д (6,0)
C2'	53,2 ^д (7,3)	54,3 ^д (4,8)	54,1 ^д (6,0) ^е	54,5 ^д (6,8)
C3'	77,3	73,6 ^д (4,2)	74,1 ^{уш.}	77,4 ^д (5,3) ^г
C4'	71,0	70,3 ^д (4,5)	70,5 ^д (4,8)	70,3
C5'	69,0	68,8	68,7 ^{**}	74,3
C6'	62,2	62,2	62,4 ^з	61,8
C1''		94,4 ^д (4,5) ^г	94,3 ^д (5,0) ^г	95,7 ^д (6,0)
C2''		55,4 ^д (4,8)	54,9 ^д (6,0) ^е	54,5 ^д (6,8)
C3''		71,0	74,1 ^{уш.}	77,8 ^д (5,3) ^г
C4''		72,0	70,5 ^д (4,8)	70,3
C5''		69,3	68,8 ^{**}	74,3
C6''		62,2	62,6 ^з	61,8
C1'''			94,9 ^д (5,0)	95,7 ^д (6,0)
C2'''			52,1 ^{уш.}	55,2 ^д (7,1)
C3'''			71,7	72,1
C4'''			69,3	70,9
C5'''			69,7	74,1
C6'''			61,9	61,8
CH ₃ CO	23,3, 24,1	23,1, 23,6($\times 2$)	23,0, 23,6($\times 2$), 23,7	23,4, 23,5, 23,7($\times 2$)

^a В CDCl₃. В спектрах присутствовали сигналы Et₃N (8,4—8,7 и 45,3—45,5), NO₂C₆H₄-(116,9, 125,5, 142,8, 161,9), C₆H₅-(128,4—133,3), COO-(165,0—168,0) и CON-групп (171,7—172,6).

^б Присутствовали сигналы CH₃OC₆H₄CH₂-группы: 55,1, 74,1, 113,6, 120,8, 130,0, 159,0.

^в В D₂O. Присутствовали сигналы NO₂C₆H₄-группы (117,9, 127,5, 144,1, 163,0) и CON-групп (176,1—178,6). Ср. с данными ^{13}C -ЯМР О-дезацетилированного поли(гликозилфосфата) (III): C1 — 93,0, C2 — 54,0, C3 — 76,9, C4 — 69,9, C5 — 73,3, C6 — 61,3 [11].

^{г, е, з, и, з} Отнесение может быть обратным.

фрактогеле TSK DEAE (HCO₃⁻) в градиенте концентрации NH₄HCO₃ с выходом 70%.

Строение полученных олиго(гликозилфосфатов) подтверждалось данными спектроскопии ^{31}P -, ^{13}C - и ^1H -ЯМР (см. табл. 1—3). Сигналы ^{31}P -ЯМР соединений (XVIII), (XXVIII) — (XXXI) находились в области, характерной для положений резонанса диэфирных фосфорной кислоты данной природы [1, 4—10]. В спектрах ди- и трифосфатного олигомеров (XXX) и (XXXI) наблюдались дискретные сигналы атомов фосфора — для (XXX) $\delta_{\text{p}} = -1,64, -2,83$ (1:1), для (XXXI) $\delta_{\text{p}} = -0,58, -2,22, -2,75$ (1:1:1), что свидетельствовало о неэквивалентности фосфатных групп в этих производных. В отличие от них незащищенный тетрагликозилтрифосфат (V) давал один сигнал $\delta_{\text{p}} = -0,69$, близкий по значению сигналам бактериального поли(гликозилфосфата) (III) ($\delta_{\text{p}} = -1,24$ [11]) и дигликозилфосфата (IV) ($\delta_{\text{p}} = -0,97$ [1]).

В спектрах ^{13}C -ЯМР О-защищенных ди- и трисахаридного производных (XXVIII) и (XXX) (см. табл. 3) сигналы C1', C1'' и C3, C3' имели

дублетную форму вследствие спин-спинового взаимодействия с атомом фосфора. Аналогичное расщепление (или уширение) наблюдалось для сигналов соседних углеродных атомов — C2', C2'', C4 и C4'. В спектре тетрасахарида (XXXI) в виде дублетов проявлялся резонанс атомов C1' — C1'', C2 — C2'', C4' и C4''. Атомы C3 — C3'' имели близкие химические сдвиги и резонировали в виде широкого мультиплета в результате наложения сигналов.

Для целевого олигомера (V) наличие фосфодиэфирных связей (1-3)-типа подтверждалось измененными по сравнению с сигналами N-ацетил-D-глюкозамина значениями химических сдвигов атомов C1' — C1''', C2' — C2''', C3 — C3'' и C4 — C4'', что явилось следствием α - и β -эффектов фосфорилирования. Отмечалось расщепление этих сигналов (за исключением C4 — C4'') на атомах фосфора. В спектре ^1H -ЯМР были определены КССВ $J_{\text{H}_1, \text{P}} = 7,3 - 7,9$ Гц и $J_{\text{H}_3, \text{P}} \sim 9$ Гц для ближайших к фосфатным группам атомов водорода. α -Конфигурация гликозилфосфатных связей следовала из положений резонанса C2' — C2''' и C5' — C5''', характерных для 2-ацетамино-2-дезокси- α -D-глюкопиранозилфосфата [21] и подтверждалась значениями КССВ $J_{\text{H}_1', \text{H}_2'} = J_{\text{H}_1'', \text{H}_2''}$ и $J_{\text{H}_1''', \text{H}_2'''}$, равными 3,2—3,6 Гц.

Следует заметить, что в спектре ^{13}C -ЯМР тетрасахарида (V) (табл. 3) химические сдвиги атомов C2''' — C5''' терминального гликозилфосфатного звена отличались от положений аналогичных сигналов внутренних звеньев. Оба «внутренних» сигнала (C3' и C3'') также были дискретны. В то же время химические сдвиги гликозилфосфатных фрагментов (за исключением C3'''); были близки данным спектра ^{13}C -ЯМР О-дезацетилированного полигликозилфосфата (III) [11]. Соотношение суммарных интегральных интенсивностей сигналов C6 — C6''' и C1' — C1''' и интенсивности C1 было близким к 4:3:1. В спектре ^1H -ЯМР аналогичное соотношение интенсивностей H3 — H3'' и H1' — H1''' и сигнала H1 равнялось 3:3:1.

Таким образом, использование гликозилводородфосфонатного метода позволило впервые синтезировать олигомерный фрагмент бактериального К-антителного полимера, построенного из гликозилфосфатных звеньев. Удлинение олиго(гликозилфосфатной) цепи путем ступенчатого наращивания протекало достаточно эффективно. Предложенный подход открывает возможности для направленного синтеза фрагментов полигликозилфосфатов с заданной длиной цепи.

Экспериментальная часть

Оптическое вращение измеряли на поляриметре Jasco DIP-360. Температуры плавления определяли на блоке Коффера. Спектры ^1H -, ^{13}C { ^1H }- и ^{31}P -ЯМР записывали на приборах Bruker WM-250 (250 МГц по ^1H), Bruker AM-300 (75 МГц по ^{13}C) и Bruker AC-200 (81,015 МГц по ^{31}P). Химические сдвиги выражены в шкале δ (м. д.) относительно Me₃Si для ^1H и ^{13}C и относительно 85% H₃PO₄ (внешний стандарт) для ^{31}P ; КССВ даны в Гц. Данные всех спектров ^{31}P -ЯМР приведены в табл. 2. Растворы упаривали в вакууме при температуре не выше 40° С. Аналитическую ТХ выполняли на пластинках с закрепленным слоем SiO₂ Kieselgel 60 F₂₅₄ (Merck), обнаруживая вещества по УФ-поглощению или 10% H₂SO₄ в метаноле при нагревании. Колоночную хроматографию (КХ) проводили на силикагеле Silpearl (Sklarny Kavalier, ЧСФР, 25—40 мкм) и L 40/100 (Chemapol, ЧСФР). Системы для ТХ: бензол — ацетон, 4:1 (А), 2:1 (Б), дихлорметан — метанол, 4:1 (В), 9:1 (Г), 85:15 (Д), дихлорметан — метанол — вода, 68:30:2 (Е), изопропиловый спирт — вода, 5:2 (Ж). Системы для КХ (градиентное элюирование): дихлорметан — метанол, 97:3 → 84:16 (З), дихлорметан — метанол — вода, 90:9:1 →

→ 69 : 30 : 1 (И). Пиридин готовили, как описано в работе [4], перед реакцией водородфосфонатной конденсации дополнительно перегоняли над CaH_2 .

n,n'-Диметокситритилперхлорат. Раствор 10 г (29,5 ммоль) *n,n*-диметокситритилхлорида в 110 мл смеси пиридин — вода (10 : 1) выдерживали 1 ч при 20° С, упаривали, от остатка отгоняли толуол. Методом КХ в бензole с Et_3N (99 : 1) выделили 9,2 г *n,n'*-диметокситритилкарбинола (97%, аморфный). Полученный карбинол (28,7 ммоль) растворяли в 85 мл Ac_2O . К раствору по каплям прибавляли 6,7 мл 57% HClO_4 при перемешивании и охлаждении (0° С). Перхлорат осаждали 250 мл абс. эфира, отделяли декантацией, промывали абс. эфиром (5×50 мл) и высушивали в вакууме. Получили 11 г (95%) *n,n'*-диметокситритилперхлората в виде красного аморфного порошка.

2-Ацетамидо-3-O-ацетил-1,4,6-три-O-бензоил- α,β -D - глюкопираноза (VII). 4,2 г (12 ммоль) соединения (VI) [12] растворяли в 100 мл MeOH и гидрировали над 10% Pd/C 8 ч при 40° С. Катализатор отфильтровывали, промывали метанолом, фильтрат упаривали. Остаток высушивали в вакууме, растворяли в 50 мл пиридина и обрабатывали 4,5 мл (38 ммоль) бензоилхлорида. Смесь выдерживали 16 ч при 20° С, разбавляли хлороформом, промывали насыщенным раствором NaHCO_3 , водой, высушивали и упаривали. Методом КХ в бензole с ацетоном (9 : 1) выделили 4,98 г продукта (VII) (72%, аморфный), $[\alpha]_D^{27} +91^\circ$ (с 1, хлороформ), R_f 0,4 (А). Спектр $^1\text{H-ЯМР}$ (CDCl_3): 1,90, 1,95, 1,98, 1,99 (4c, CH_3CO), 4,21 (ддд, $\text{H}5\text{-}\beta$, $J_{5,6a}$ 4,5, $J_{5,6b}$ 3,0, $J_{4,5}$ 9,9), 4,36—4,58 (м, $\text{H}5\text{-}\alpha$, $\text{H}6a\text{-}\alpha,\beta$, $\text{H}6b\text{-}\alpha$), 4,60 (дд, $\text{H}6b\text{-}\beta$, $J_{6a,6b}$ 12,5), 4,66 (ддд, $\text{H}2\text{-}\beta$, $J_{2,3}$ 10,7), 4,75 (ддд, $\text{H}2\text{-}\alpha$, $J_{2,3}$ 9,1), 5,45 (дд, $\text{H}3\text{-}\beta$), 5,62 (т, $\text{H}4\text{-}\beta$, $J_{3,4}=J_{4,5}=9,8$), 5,63 (т, $\text{H}4\text{-}\alpha$, $J_{3,4}=J_{4,5}=9,5$), 5,74 (дд, $\text{H}3\text{-}\alpha$), 5,86 (д, NH , $J_{\text{NH},2}$ 10,5), 6,03 (д, $\text{H}1\text{-}\beta$, $J_{1,2}$ 9,0), 6,56 (д, $\text{H}1\text{-}\alpha$, $J_{1,2}$ 3,6), 7,15—7,73 и 7,92—8,20 (м, C_6H_5); соотношение α - и β -аномеров 1,7 : 1.

2-Ацетамидо-1,4,6-три-O-бензоил - 2 - дезокси - α,β - D - глюкопираноза (VIII). 5,1 г (8,8 ммоль) диацетата (VII) обрабатывали раствором HCl в метаноле, полученным прибавлением 4 мл AcCl по каплям к 100 мл MeOH при 0° С. Раствор выдерживали 12 ч при 1° С и 7 ч при 20° С, нейтрализовали триэтиламином и упаривали. Остаток растворяли в хлороформе, промывали насыщенным раствором NaHCO_3 , водой, высушивали и упаривали. Методом КХ в гексане с ацетоном (1 : 1) выделили 2,78 г (60%) соединения (VIII) (аморфный), $[\alpha]_D^{26} +113^\circ$ (с 1, хлороформ), R_f 0,26 (Б). Спектр $^1\text{H-ЯМР}$ (CDCl_3): 1,89, 1,93 (2c, CH_3CO), 4,14 (дд, $\text{H}3\text{-}\beta$, $J_{2,3}$ 10,3), 4,26 (дд, $\text{H}3\text{-}\alpha$, $J_{2,3}$ 10,8), 4,33—4,53 (м, $\text{H}2\text{-}\beta$, $\text{H}5\text{-}\alpha,\beta$, $\text{H}6a\text{-}\alpha,\beta$, $\text{H}6b\text{-}\alpha,\beta$), 4,56 (ддд, $\text{H}2\text{-}\alpha$, $J_{2,3}$ 8,0), 5,42 (т, $\text{H}4\text{-}\beta$, $J_{3,4}=J_{4,5}=8,9$), 5,48 (т, $\text{H}4\text{-}\alpha$, $J_{3,4}=J_{4,5}=9,5$), 6,11 (д, $\text{H}1\text{-}\beta$, $J_{1,2}$ 8,6), 6,25 (д, NH), 6,53 (д, $\text{H}1\text{-}\alpha$, $J_{1,2}$ 3,6), 7,14—7,67 и 7,90—8,17 (м, C_6H_5); соотношение α - и β -аномеров 2,5 : 1. Найдено, %: С 65,28, Н 5,34, N 2,93. $\text{C}_{29}\text{H}_{27}\text{NO}_9$. Вычислено, %: С 65,28, Н 5,40, N 2,63.

*2-Ацетамидо-1,4,6-три-O-бензоил-2-дезокси-3-O-*n,n'*-диметокситритил - α -D-глюкопираноза (IX).* К раствору 300 мг (0,56 ммоль) соединения (VIII) и 450 мг (1,12 ммоль) диметокситритилперхлората в 6 мл CH_2Cl_2 прибавляли 0,165 мл (1,25 ммоль) 2,4,6-коллидина. Через 24 ч прибавляли дополнительно 225 мг (0,56 ммоль) $(\text{MeO})_2\text{TrClO}_4$, 0,082 мл 2,4,6-коллидина и выдерживали смесь 72 ч при 20° С (ТСХ-контроль в системе А). Реакцию останавливали добавлением 2 мл смеси пиридин — MeOH (3 : 1). Смесь разбавляли хлороформом, промывали насыщенным раствором NaHCO_3 , водой, высушивали и упаривали. Методом КХ в бензole с ацетоном (95 : 5) выделили 330 мг (70%) соединения (IX) (аморфный), $[\alpha]_D^{28} +80^\circ$ (с 1, хлороформ), R_f 0,47 (А). Спектр $^1\text{H-ЯМР}$

(CDCl₃): 1,61 (с, 3H, CH₃CO), 3,65, 3,73 (2c, 6H, CH₃O), 3,97 (дд, 1H, H5, J_{5,6a} 4,5, J_{5,6b} 3,3, J_{4,5} 9,7), 4,15 (т, 1H, H3, J_{2,3}=J_{3,4}=9,7), 4,23 (дд, 1H, H6a, J_{6a,6b} 12,5), 4,36 (дд, 1H, H6b), 4,77 (дт, 1H, H2, J_{2,NH} 9,7), 5,76 (т, 1H, H4), 6,34 (д, 1H, H1, J_{1,2} 3,0), 6,70д, 6,83д, 7,02–7,78м, 8,00д (29H, C₆H₅, NH); продукт содержит ~10% примеси β-аномера.

2-Ацетамидо-1,4,6-три-O-бензоил-2-дезокси-3-O-n-метоксибензил-α-D-глюкопираноза (X). К раствору 900 мг (1,68 ммоль) спирта (VIII) и 950 мг (3,36 ммоль) n-метоксибензилтрихлорацетимидата [20] в 9 мл смеси диоксан – эфир (1 : 2) при перемешивании под аргоном прибавляли 0,006 мл CF₃SO₃H (0,067 ммоль) в 3 мл эфира. Через 15 мин смесь нейтрализовали Et₃N, разбавляли хлороформом, промывали насыщенным NaHCO₃, водой, высушивали и упаривали. Методом КХ в бензоле с ацетоном (9 : 1) выделили 621 мг (56%) соединения (X) (аморфный), [α]_D²⁵ +121° (с 1, хлороформ), R_f 0,37 (A). Спектр ¹H-ЯМР (CDCl₃): 1,82 (с, 3H, CH₃CO), 3,76, (с, 3H, CH₃O), 4,17 (дд, 1H, H3, J_{2,3} 10,7), 4,35 (м, 2H, H5, H6a), 4,51, 4,66 (2д, 2H, CH₂Ar, J 11), 4,52 (дд, 1H, H6b, J_{5,6b} 2,4, J_{6a,6b} 11), 4,58 (дд, 1H, H2, J_{2,NH} 8,0), 5,16 (д, 1H, NH), 5,69 (т, 1H, H4, J_{3,4}=J_{4,5}=9,1), 6,52 (д, 1H, H1, J_{1,2} 3,4), 6,83д, 7,20д, 7,33–7,70м, 7,95–8,12м (19H, C₆H₅, C₆H₄). Найдено, %: C 67,88, H 5,62, N 2,87. C₃₇H₃₅NO₁₀. Вычислено, %: C 67,98, H 5,39, N 2,14.

2-Ацетамидо-4,6-ди-O-бензоил-2-дезокси-3-O-n,n' - диметокситритил - α-D-глюкопираноза (XI). К раствору 2 г (2,39 ммоль) соединения (IX) в 20 мл CH₃CN при охлаждении (–20°) прибавляли 1,1 мл (16,73 ммоль) диметиламина. Реакционную смесь выдерживали 48 ч при 20° С, при этом дважды (через 24 и 40 ч) дополнительно прибавляли по 0,55 мл Me₂NH (контроль методом ТСХ в системе А). Раствор упаривали, от остатка отгоняли CH₃CN. Методом КХ в толуоле с ацетоном (7 : 3) выделили 1,08 г (62%) соединения (XI) (аморфный), [α]_D²⁵ +56° (с 1, хлороформ), R_f 0,15 (A). Спектр ¹H-ЯМР (CDCl₃): 1,65 (с, 3H, CH₃CO), 3,66, 3,76, (2с, 6H, CH₃O), 4,00 (дд, 1H, H3, J_{2,3} 9,4), 4,12 (дд, 1H, H5, J_{5,6a} 3,2, J_{5,6b} 4,5), 4,22 (дд, 1H, H6a, J_{6a,6b} 11,8), 4,41 (дд, 1H, H6b), 4,42 (дт, 1H, H2, J_{2,NH} 9,4), 4,97 (д, 1H, NH), 5,18 (д, 1H, H1, J_{1,2} 3,3), 5,50 (т, 1H, H4, J_{3,4}=J_{4,5}=8,6), 6,65д, 6,76д, 7,00–7,57м, 7,66д, 7,96д (23H, C₆H₄, C₆H₅). Спектр ¹³C-ЯМР (CDCl₃): 23,4 (CH₃CO), 53,6 (C2), 55,0, 55,2 (CH₃O), 63,5 (C6), 68,7 (C4), 71,0 (C5), 72,0 (C3), 88,4 (Ar₃C), 91,5 (C1, J_{C,N} 171), 113,0–113,4, 126,9–132,9, 145,8, 158,4, 158,7 (C₆H₄, C₆H₅), 165,3, 166,4 (COO), 170,1 (CON). Найдено, %: C 69,09, H 5,44, N 1,87. C₄₃H₄₁·NO₁₀. Вычислено, %: C 70,57, H 5,65, N 1,91.

2-Ацетамидо-4,6-ди-O-бензоил-2-дезокси-3-O-n-метоксибензил-α-D-глюкопираноза (XII). К раствору 490 мг (0,75 ммоль) соединения (X) в 6 мл ацетонитрила при охлаждении (–20° С) прибавляли 0,35 мл (5,25 ммоль) диметиламина. Смесь выдерживали 48 ч при 20° С, упаривали досуха, от остатка отгоняли CH₃CN. Методом КХ в бензоле с ацетоном (7 : 3) выделили 275 мг (67%) соединения (XII), т. пл. 194–196° С (хлороформ – гексан), [α]_D²⁵ +63° (с 1, хлороформ), R_f 0,1 (A). Спектр ¹H-ЯМР (CDCl₃): 1,9 (с, 3H, CH₃CO), 3,75 (с, 3H, CH₃O), 4,05 (дд, 1H, H3, J_{2,3} 11,1), 4,23 (дд, 1H, H2, J_{2,NH} 8,8), 4,31 (дд, 1H, H6a, J_{5,6a} 4,3, J_{5,6b} 12,3), 4,44 (дд, 1H, H5, J_{5,6b} 2,9), 4,45, 4,57 (2д, 2H, CH₂Ar, J 11,6), 4,58 (дд, 1H, H6b), 5,32 (д, 1H, H1, J_{1,2} 3,4), 5,56 (т, 1H, H4, J_{3,4}=J_{4,5}=10,0), 5,57 (д, 1H, NH), 6,75д, 7,10д, 7,32–7,65м, 8,00д, 8,07д (14H, C₆H₄, C₆H₅). Найдено, %: C 65,59, H 5,39, N 2,93. C₃₀H₃₁NO₉. Вычислено, %: C 65,56, H 5,68, N 2,55.

2-Ацетамидо-4,6-ди-O-бензоил-2-дезокси-3-O-n,n' - диметокситритил - α-D-глюкопиранозилводородфосфонат, триэтиламмониевая соль (XIII). К раствору 575 мг (8,44 ммоль) имидазола в 15 мл CH₃CN при переме-

шивании и охлаждении на бане со льдом прибавляли 0,22 мл (2,54 ммоль) PCl_3 и 1,25 мл (8,91 ммоль) Et_3N ; через 15 мин прибавляли по каплям раствор 430 мг (0,6 ммоль) соединения (XI) в 15 мл ацетонитрила в течение 30 мин. Охлаждение прекращали, через 5 мин к смеси добавляли 5 мл 1 М TEAB (рН 8). Раствор перемешивали 15 мин, разбавляли CHCl_3 , промывали ледяной водой (2 раза), 0,5 М TEAB (2 раза), высушивали и упаривали. Методом КХ в системе 3 выделили 440 мг (83%) Н-фосфоната (XIII) (аморфный), $[\alpha]_D^{22} +61^\circ$ (с 1, хлороформ), R_f 0,25 (В). Спектр ^1H -ЯМР (CDCl_3): 1,21 (т, 9H, CH_3CH_2), 1,59 (с, 3H, CH_3CO), 2,92 (к, 6H, CH_3CH_2), 3,65, 3,71 (2c, 6H, CH_3O), 3,95 (дд, 1H, H₃, $J_{2,3}$ 10,0) 4,14 (дд, 1H, H_{6a}, $J_{6a, 6b}$ 12,0), 4,19 (дт, 1H, H₅, $J_{5, 6a}=J_{5, 6b}=3,3$), 4,40 (дд, 1H, H_{6b}), 4,52 (дт, 1H, H₂, $J_{2, \text{NH}}$ 10,0), 5,25 (д, 1H, NH), 5,54 (дд, 1H, H₁, $J_{1, 2}$ 3,5, $J_{1, p}$ 8,3), 5,63 (т, 1H, H₄, $J_{3, 4}=J_{4, 5}=9,1$), 6,74 (д, 1H, $\underline{\text{HP}}$, $J_{\text{H}, p}=635$), 6,61д, 6,72д, 6,95–7,55м, 7,63д, 8,00д (23H, C_6H_4 , C_6H_5). Спектр ^{13}C -ЯМР (CDCl_3): 8,5 (CH_3CH_2), 23,3 (CH_3CO), 45,5 (CH_3CH_2), 53,3 (д, C₂, $J_{\text{C}, p}$ 6,4), 55,0, 55,1 (CH_3O), 63,0 (C₆), 69,4 (C₄), 71,4 (C₅), 71,7 (C₃), 88,3 (Ar_3C), 93,0 (д, C₁, $J_{\text{C}, p}$ 6,1), 112,9–113,3, 126,9–132,9, 145,8, 158,3, 158,6 (C_6H_4 , C_6H_5), 165,1, 166,2 (COO), 169,9 (CON).

2-Ацетамидо-4,6-ди-O-бензоил-2-дезокси-3-O-n-метоксибензил-α - D - глюкопиранозилводородфосфонат, триэтиламмониевая соль (XIV), получен по методике синтеза Н-фосфоната (XIII) из 220 мг (0,4 ммоль) производного (XII). Выход 275 мг (96%, аморфный), $[\alpha]_D^{31} +55^\circ$ (с 1, хлороформ), R_f 0,2 (В). Спектр ^1H -ЯМР (CDCl_3): 1,29 (т, 9H, CH_3CH_2), 1,91 (с, 3H, CH_3CO), 3,01 (к, 6H, CH_3CH_2), 3,71 (с, 3H, CH_3O), 4,03 (дд, 1H, H₃, $J_{2, 3}$ 9,9), 4,27 (дд, 1H, H_{6a}, $J_{5, 6a}$ 3,7, $J_{6a, 6b}$ 11,8), 4,41 (ддт, 1H, H₂, $J_{2, \text{NH}}$ 9,9, $J_{2, p}$ 1,5), 4,48, 4,54 (2д, 2H, CH_2Ar , J 11,0), 4,50 (м, 1H, H₅), 4,56 (дд, 1H, H_{6b}, $J_{5, 6b}$ 2,5), 5,60 (т, 1H, H₄, $J_{3, 4}=J_{4, 5}=9,2$), 5,61 (дд, 1H, H₁, $J_{1, 2}$ 3,2, $J_{1, p}$ 8,1), 6,33 (д, 1H, NH), 7,01 (д, 1H, $\underline{\text{HP}}$, $J_{\text{H}, p}$ 638), 6,69д, 7,05д, 7,35–7,60м, 7,95–8,06м (14H, C_6H_4 , C_6H_5). Спектр ^{13}C -ЯМР (CDCl_3): 8,6 (CH_3CH_2), 23,2 (CH_3CO), 45,6 (CH_3CH_2), 52,6 (д, C₂, $J_{\text{C}, p}$ 6,0), 55,1 (CH_3O), 62,8 (C₆), 69,2 (C₅), 71,0 (C₄), 73,6 (CH_2Ar), 77,2 (C₃), 93,4 (д, C₁, $J_{\text{C}, p}$ 5,3), 113,7, 120,8, 128,3–133,3, 159,0 (C_6H_4 , C_6H_5), 165,0, 166,2 (COO), 170,4 (CON).

Взаимодействие соединений (XIII) и (XVI). а) Смесь 220 мг (0,225 ммоль) Н-фосфоната (XIII) и 83 мг (0,15 ммоль) соединения (XVI) высушивали отгонкой с пиридином (3×1 мл). К раствору остатка в 1 мл пиридина при перемешивании прибавляли 0,07 мл (0,56 ммоль) пивалоилхлорида и через 10 мин при 20°С раствор 112 мг (0,45 ммоль) иода в 2 мл смеси пиридин – вода (95 : 5). Через 15 мин раствор разбавляли хлороформом (50 мл), промывали 1 М $\text{Na}_2\text{S}_2\text{O}_3$ (2×25 мл), 0,5 М TEAB (2×25 мл), высушивали и упаривали. Остаток растворяли в 10 мл CH_2Cl_2 , охлаждали и обрабатывали 10 мл охлажденного 2% раствора CF_3COOH в CH_2Cl_2 при 0°С в течение 1 мин. Смесь промывали ледяным насыщенным раствором NaHCO_3 , 0,5 М TEAB высушивали и упаривали. Методом КХ в системе 3 выделили 10 мг (9%) n-нитрофенил-2-ацетамидо-4,6-ди-O-бензоил-2-дезокси-β-D-глюкопиранозид-3-фосфата (XXIV) (аморфный), $[\alpha]_D^{29} -4,3^\circ$ (с 1, хлороформ), R_f 0,6 (Д), спектр ^1H -ЯМР – см. табл. 1; 24 мг (11%) P¹,P²-бис(n-нитрофенил-2-ацетамидо-4,6-ди-O-бензоил-2-дезокси-β-D-глюкопиранозид-3)пирофосфата (XXV) (аморфный), $[\alpha]_D^{28} -12^\circ$ (с 1, хлороформ), R_f 0,5 (Д), спектр ^1H -ЯМР – см. табл. 1; 26 мг (15%) фосфодиэфира (XVIII) (аморфный; физико-химические характеристики см. ниже).

б) Смесь 43 мг (0,05 ммоль) Н-фосфоната (XIII) и 27 мг (0,05 ммоль) производного (XVI) высушивали отгонкой с пиридином (3×1 мл) и ра-

створяли в 0,5 мл C_5H_5N . К раствору при перемешивании прибавляли 0,016 мл (0,125 ммоль) пивалоилхлорида и через 5 мин при $20^\circ C$ 0,2 мл 1 М TEAB (рН 8). Смесь разбавляли хлороформом, промывали 0,5 М TEAB, высушивали и упаривали. Остаток растворяли в 10 мл CH_2Cl_2 , охлаждали и обрабатывали 10 мл охлажденного 2% раствора CF_3COOH в CH_2Cl_2 30 с при $0^\circ C$. Раствор промывали ледяным насыщенным раствором $NaHCO_3$, 1М TEAB, высушивали и упаривали. Остаток растворяли в 0,5 мл пиридина и обрабатывали иодом (25 мг, 0,1 ммоль) в 80% водном пиридине (0,5 мл). Через 10 мин смесь разбавляли $CHCl_3$, промывали 0,5 М $Na_2S_2O_3$, 0,5 М TEAB, высушивали и упаривали. Методом KX в системе З выделили 24 мг (67%) *n*-нитрофенил-2-ацетамидо-4,6-ди-*O*-бензоил-2-дезокси- β -D-глюкопиранозид-3-водородфосфоната (XXII) (аморфный), $[\alpha]_D^{25} -7^\circ$ (с 1, хлороформ), R_f 0,25 (Д). Спектр 1H -ЯМР — см. табл. 1.

Methyl-6-(2-acetamido-4,6-di-O-benzoil-2-dezoxi- α -D-glykopiranosiloxy)-2,3,4-tri-O-acetyl- α -D-mannopyranosid, triethylammonium соль (XXVII), получен реакцией 43 мг (0,048 ммоль) H-фосфоната (XIII) и 16 мг (0,05 ммоль) производного (XXVI) [22] в присутствии 0,016 мл (0,125 ммоль) пивалоилхлорида с последующим окислением и дегидратацией по методике «а» взаимодействия соединений (XIII) и (XVI) (см. выше). Выход фосфодиэфира (XXVII) 20 мг (45%, аморфный), $[\alpha]_D^{29} +60^\circ$ (с 1, хлороформ), R_f 0,45 (Д). Спектр 1H -ЯМР — см. табл. 1.

n-Nitrofенил-2-acetamido-3-(2-acetamido-4,6-di-O-benzoil-2-dezoxi- β -D-glykopiranosiloxy)-4,6-di-O-benzoil-2-dezoksi- β -D-glykopiranosid, триэтиламмониевая соль (XXVIII). Смесь 78 мг (0,11 ммоль) H-фосфоната (XIV) и 55 мг (0,1 ммоль) производного (XVI) высушивали отгонкой с пиридином (3×1 мл). К раствору остатка в пиридине (0,5 мл) при перемешивании прибавляли 0,031 мл (0,25 ммоль) пивалоилхлорида, через 10 мин при $20^\circ C$ прибавляли раствор 50 мг (0,2 ммоль) иода в 1 мл смеси пиридин — вода (95:5). Через 15 мин раствор разбавляли хлороформом (50 мл), промывали 1 М $Na_2S_2O_3$ (2×25 мл), 0,5 М TEAB (2×25 мл), высушивали и упаривали. Методом KX в системе З выделили 93 мг (74%) фосфодиэфира (XXVIII) (аморфный), $[\alpha]_D^{19} +29^\circ$ (с 1, хлороформ); R_f 0,25 (Г). Спектры 1H - и ^{13}C -ЯМР — см. табл. 1 и 3.

n-Nitrofенил-2-acetamido-3-(2-acetamido-4,6-di-O-benzoil-2-dezoksi- α -D-glykopiranosiloxy)-4,6-di-O-benzoil-2-dezoksi- β -D-glykopiranosid, триэтиламмониевая соль (XVIII). а) К раствору 40 мг (0,03 ммоль) фосфодиэфира (XXVIII) в 1 мл смеси CH_3CN — вода (9:1) прибавляли 33 мг (0,06 ммоль) $Ce(NH_4)_2(NO_3)_6$. Раствор перемешивали 1 ч при $20^\circ C$, разбавляли хлороформом, промывали насыщенным раствором $NaHCO_3$, 0,5 М TEAB, высушивали и упаривали. Методом KX в системе З выделили 23 мг (67%) фосфодиэфира (XVIII) (аморфный), $[\alpha]_D^{26} +42^\circ$ (с 1, хлороформ), R_f 0,25 (Д). Спектр 1H -ЯМР — см. табл. 1.

б) Конденсацию 100 мг (0,14 ммоль) H-фосфоната (XIV) и 77 мг (0,14 ммоль) производного (XVI), последующее окисление и обработку выполняли как описано в синтезе соединения (XXVIII). Смесь продуктов без хроматографического разделения растворяли в водном CH_3CN и обрабатывали 152 мг (0,28 ммоль) $Ce(NH_4)_2(NO_3)_6$ по методике «а». Выход соединения (XVIII) составил 80 мг (50%).

n-Nitrofенил-2-acetamido-3-[2-acetamido-(2-acetamido-4,6-di-O-benzoyl-2-dezoksi-3-O-n-metokxisbenzyl- α -D-glykopiranosiloxy)-4,6-di-O-benzoil-2-dezoksi- α -D-glykopiranosido]-4,6-di-O-benzoil-2-dezoksi- β -D-glykopiranosid, бис-триэтиламмониевая соль (XXIX), был по-

лучен конденсацией 50 мг (0,069 ммоль) Н-фосфоната (XIV) и 53 мг (0,046 ммоль) фосфодиэфира (XVIII) в присутствии 0,021 мл (0,172 ммоль) пивалоилхлорида (10 мин, 20° С) с последующим окислением иодом по методике синтеза соединения (XXVIII). Методом КХ в системе И выделили 50 мг (59%) соединения (XXIX) (аморфный), $[\alpha]_D^{28} +52^\circ$ (с 1, хлороформ). Данные ^1H -ЯМР (CDCl_3): 2,17, 2,20, 2,27 (3c, 9H, CH_3CO), 3,68 (c, 3H, CH_3O), 4,12 (т, 1H, H3'', $J_{2'',3''}=J_{3'',4''}=9,7$), 4,57, 4,76 (2d, 2H, CH_2Ar , J 11,1), 4,92 (к, 1H, H3, $J_{2,3}=J_{3,4}=J_{3,p}=9,7$), 5,43 (д, 1H, H1, $J_{1,2}=8,2$), 5,52 (дд, 1H, H1', $J_{1',2'}=3,2$, $J_{1',p}=9,9$), 5,60 (дд, 1H, H1'', $J_{1'',2''}=3,0$, $J_{1'',p}=7,6$).

n-Нитрофенил-2-ацетамидо-3-[2-ацетамидо-3-(2-ацетамидо-4,6-ди-*O*-бензоил-2-дезокси- α -D-глюкопиранозилфосфо)-4,6-ди-*O*-бензоил-2-дезокси- α -D-глюкопиранозилфосфо]-4,6-ди-*O*-бензоил-2-дезокси- β -D-глюкопиранозид, бис-триэтиламмониевая соль (XXX). а) Соединение (XXX) было получено обработкой раствора 50 мг (0,027 ммоль) производного (XXIX) в 90% водном CH_3CN (1 мл) церий(IV) амонийнитратом (30 мг, 0,054 ммоль) в течение 2 ч при 20° С. Дальнейшая обработка — как в синтезе «а» фосфодиэфира (XVIII). Методом КХ в системе И выделили 34 мг (73%) тримера (XXX) (аморфный), $[\alpha]_D^{29} +62^\circ$ (с 1, хлороформ), $R_f 0,4$ (E). Спектр ^{13}C -ЯМР — см. табл. 3.

б) Конденсацию 108 мг (0,15 ммоль) соединения (XIV) и 115 мг (0,1 ммоль) соединения (XVIII), последующее окисление и дебензилирование выполняли по методике «б» синтеза фосфодиэфира (XVIII). Методом КХ в системе И выделили 80 мг (46%) производного (XXX).

n-Нитрофенил-2-ацетамидо-3-[2-ацетамидо-3-[2-ацетамидо-3-(2-ацетамидо-3,4,6-три-*O*-бензоил-2-дезокси- α -D-глюкопиранозилфосфо)-4,6-ди-*O*-бензоил-2-дезокси- α -D-глюкопиранозилфосфо]-4,6-ди-*O*-бензоил-2-дезокси- β -D-глюкопиранозид, трис-триэтиламмониевая соль (XXXI), был получен по методике синтеза фосфодиэфира (XXVIII) из 110 мг (0,063 ммоль) трисахаридного производного (XXX) и 70 мг (0,1 ммоль) Н-фосфоната (XIV). Методом КХ в системе И выделили 60 мг (40%) соединения (XXXI) (аморфный), $[\alpha]_D^{28} +63^\circ$ (с 1, хлороформ), $R_f 0,3$ (E). Спектр ^{13}C -ЯМР — см. табл. 3.

n-Нитрофенил-2-ацетамидо-3-[2-ацетамидо-3-[2-ацетамидо-3-(2-ацетамидо-2-дезокси- α -D-глюкопиранозилфосфо)-2-дезокси- α -D-глюкопиранозилфосфо]-2-дезокси- α -D-глюкопиранозилфосфо]-2-дезокси- β -D-глюкопиранозид, трис-аммониевая соль (V). 50 мг (0,02 ммоль) соединения (XXXI) растворяли в 2 мл 0,05 М MeONa в метаноле с диоксаном (1 : 1) и выдерживали 24 ч при 1° С (TCX-контроль в системе Ж). Раствор нейтрализовали даунексом 50W×4 (H^+), фильтровали, фильтрат немедленно нейтрализовали триэтиламином и упаривали. Тетрагликозилтрифосфат (V) выделяли ионообменной хроматографией на колонке (1×18 см) с фрактогелем TSK DEAE-650 (S) (HCO_3^-) в линейном градиенте NH_4HCO_3 (0→0,33 М, скорость элюирования 1 мл/мин). Выход 17 мг (70%, аморфный), $[\alpha]_D^{28} +65^\circ$ (с 1, вода), $R_f 0,05$ (Ж). Спектр ^1H -ЯМР (D_2O): 2,08, 2,14 (2c, 6H, CH_3CO), 2,16, (c, 6H, CH_3CO), 3,57 (т, 1H, H4''', $J_{3''',4'''}=J_{4''',5'''}=9,5$), 3,67–4,20 (м, 20H, H2–H2''', H3''', H4–H4''', H5–H5''', H6–H6'''), 4,34 (к, линии уширены, 3H, H3–H3'', $J_{\text{H},\text{p}}=J_{\text{H},\text{n}}=9$), 5,44 (д, 1H, H1, $J_{1,2}=8,5$), 5,53 (дд, $J_{\text{H},\text{n}}=3,2$, $J_{\text{H},\text{p}}=7,3$), 5,56 (дд, $J_{\text{H},\text{n}}=3,2$, $J_{\text{H},\text{p}}=7,5$), 5,58 (дд, $J_{\text{H},\text{n}}=3,6$, $J_{\text{H},\text{p}}=7,9$) [3H, H1'–H1'''], 7,23, 8,29 (2d, 4H, C_6H_4). Спектр ^{13}C -ЯМР — см. табл. 3.

СПИСОК ЛИТЕРАТУРЫ

1. Елисеева Г. И., Иванова И. А., Николаев А. В., Шибаев В. Н. // Биоорганическая химия. 1991. Т. 17. № 10. С. 1401–1411.

2. *Kenne L., Lindberg B.* // The Polysaccharides. V. 2/Ed. Aspinall G. O. N. Y.: Acad. Press, 1983. P. 287–363.
3. *Cawley T. N., Letters R.* // Carbohydr. Res. 1971. V. 19. № 3. P. 373–382.
4. Николаев А. В., Рябцева Е. В., Шибаев В. Н., Кочетков Н. К. // Биоорган. химия. 1989. Т. 15. № 12. С. 1649–1659.
5. *Westerduin P., Veeneman G. H., van der Marel G. A., van Boom J. H.* // Tetrahedron Lett. 1986. V. 27. № 51. P. 6271–6274.
6. Шибаев В. Н., Елисеева Г. И., Джорупбекова Дж., Кочетков Н. К. // Биоорган. химия. 1987. Т. 13. № 7. С. 940–946.
7. Уткина Н. С., Николаев А. В., Шибаев В. Н. // Биоорган. химия. 1991. Т. 17. № 4. С. 531–539.
8. *Nikolaev A. V., Ivanova I. A., Shibaev V. N., Kochetkov N. K.* // Carbohydr. Res. 1990. V. 204. № 1. P. 65–78.
9. *Nikolaev A. V., Utkina N. S., Shibaev V. N., Ignatenko A. V., Kochetkov N. K.* // Carbohydr. Res. 1989. V. 187. P. c1–c5.
10. Николаев А. В., Иванова Н. А., Шибаев В. Н. // Биоорган. химия. 1990. Т. 16. № 12. С. 1696–1699.
11. *Jann B., Dengler T., Jann K.* // FEMS Mikrobiol. Lett. 1985. V. 29. P. 257–261.
12. *Zaoral M., Jezek J., Rotta J.* // Collect. Czech. Chem. Communs. 1982. V. 47. № 11. P. 2989–2995.
13. *Byramova N. E., Ovchinnikov M. V., Backinowsky L. V., Kochetkov N. K.* // Carbohydr. Res. 1983. V. 124. № 1. P. c8–c11.
14. *Backinowsky L. V., Tsvetkov Yu. E., Balan N. F., Byramova N. E., Kochetkov N. K.* // Carbohydr. Res. 1980. V. 85. № 2. P. 209–221.
15. Нифантьев Н. Э., Бакиновский Л. В., Цвегков Ю. Е., Кочетков Н. К. // Изв. АН СССР. Сер. хим. 1987. № 4. С. 914–920.
16. Николаев А. В., Иванова Н. А., Шибаев В. Н., Игнатенко А. В. // Биоорган. химия. Т. 17. 1991. № 11. С. 1550–1561.
17. *Garegg P. J., Regberg T., Stawinski J., Strömberg R.* // J. Chem. Soc. Perkin Trans. 1. 1987. № 6. P. 1269–1273.
18. *Oikawa Y., Yoshioka T., Yonemitsu O.* // Tetrahedron Lett. 1982. V. 23. № 8. P. 885–888.
19. *Johansson R., Samuelsson B.* // J. Chem. Soc. Perkin Trans. 1. 1984. № 10. P. 2371–2374.
20. *Nakajima N., Horita K., Abe R., Yonemitsu O.* // Tetrahedron Lett. 1988. V. 29. № 33. P. 4139–4142.
21. *Bundle D. R., Jennings H. J., Smith I. C. P.* // Can. J. Chem. 1973. V. 51. № 22. P. 3812–3819.
22. Кочетков Н. К., Дмитриев Б. А., Байрамова Н. Э., Николаев А. В. // Изв. АН СССР. Сер. хим. 1978. № 3. С. 652–656.

Поступила в редакцию
12.IV.1991

A. V. NIKOLAEV, I. A. IVANOVA, V. N. SHIBAEV

FRAGMENTS OF BIOPOLYMERS CONTAINING GLYCOSYL PHOSPHATE RESIDUES. 9. SYNTHESIS OF TETRA-(2-ACETAMIDO-2-DEOXY-D-GLUCOPYRANOSYL)TRIPHOSPHATE, A TETRAMER FRAGMENT OF THE CAPSULAR ANTIGEN OF *ESCHERICHIA COLI* K51

*N. D. Zelinsky Institute of Organic Chemistry,
Russian Academy of Sciences, Moscow*

Linear tetra(N-acetylglucosaminyl)triposphate GlcNAc(α)-P-3GlcNAc(α)-P-3GlcNAc(α)-P-3GlcNAc(β)-ONp, a fragment of the capsular antigen of *E. coli* K51, was synthesized by the step-by-step approach with the use of the H-phosphonate method, starting the chain from *p*-nitrophenyl 2-acetamido-4,6-di-O-benzoyl-2-deoxy- β -D-glucopyranoside. The elongation cycle included the coupling of 2-acetamido-4,6-di-O-benzoyl-2-deoxy-3-O-*p*-methoxybenzyl- α -D-glucopyranosyl H-phosphonate with a hydroxyl component in the presence of Me₃CCOCl followed by oxidation (I₂) and de(methoxybenzylat ion) (Ce(NH₄)₂(NO₃)₆). 2-Acetamido-3,4,6-tri-O-benzoyl-2-deoxy- α -D-glucopyranosyl H-phosphonate was employed in the final step. After mild debenzoylation the title tetramer was isolated by anion-exchange chromatography. The data of ¹H, ¹³C and ³¹P NMR spectra of the synthesized oligomers are discussed.